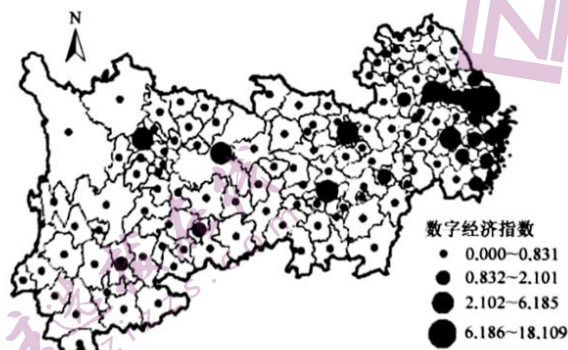


高三地理

一、选择题：本题共 16 小题，每小题 3 分，共 48 分。在每小题给出的四个选项中，只有一个选项是符合题目要求的。

数字经济是指将数字技术融入传统产业，提升传统产业数字化、信息化，数据化，智能化水平的一系列融合性经济活动，数字技术创新是其核心动力。长江经济带数字经济发展水平空间分布差异显著。下图示意长江经济带数字经济指数分布（指数越大，说明数字经济发展水平越高）。据此完成 1~3 题。



1. 长江经济带数字经济发展水平的空间差异主要表现为（ ）

- ①上游地区高于下游地区 ②上游地区低于下游地区 ③成渝城市群形成高发展水平集聚区 ④长三角城市群形成高发展水平集聚区

A. ①③ B. ①④ C. ②③ D. ②④

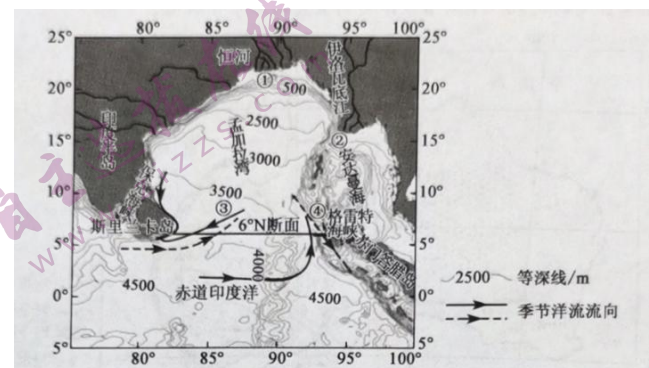
2. 对长江经济带城市数字经济发展水平空间差异影响较小的因素是（ ）

- A. 信息化水平 B. 产业结构 C. 老龄化程度 D. 城市等级

3. 苏州市的数字经济指数高于贵阳市。与贵阳市相比，苏州市发展数字经济的独特优势是（ ）

- A. 城市行政级别更高 B. 空间位置邻近上海 C. 矿产资源总量丰富 D. 交通枢纽地位重要

孟加拉湾是位于印度洋东部的边缘海，东、北，西三面为陆地，南部以一个巨大的豁口（ 6° N 附近）与赤道印度洋连通，该豁口是孟加拉湾与外部大洋物质和能量交换的主要通道。孟加拉湾水文状况季节变化显著，孟加拉湾西部 13° N~ 18° N 和孟加拉湾东部 15° N~ 20° N 附近近岸区存在季节分布和强度差异明显的上升流。下图示意孟加拉湾表层洋流流向。据此完成 4~6 题。



4. 图中四处海域 7 月表层海水盐度由高到低依次是（ ）

- A. ③④①② B. ③④②① C. ④③①② D. ④③②①

5. 与孟加拉湾西部近岸区上升流相比，孟加拉湾东部近岸区上升流（ ）

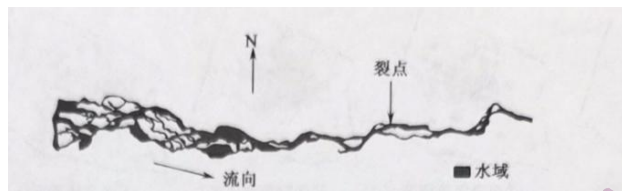
- A. 出现在夏季，强度较大 B. 出现在夏季，强度较小
 C. 出现在冬季，强度较大 D. 出现在冬季，强度较小
6. 海洋淡水输入是指海水从低盐度海区流入高盐度海区。 6°N 断面东部表层海水（ ）
 A. 夏季向孟加拉湾进行海洋淡水输入 B. 冬季向孟加拉湾进行海洋淡水输入
 C. 夏季向赤道印度洋进行海洋淡水输入 D. 冬季向赤道印度洋进行海洋淡水输入

查亚峰，海拔 4884 米，是新几内亚岛和大洋洲的最高峰，山体以裸露的第三纪灰岩为主，剥蚀速率远低于其南部的前寒武纪绿片岩（具有细粒鳞片变晶结构）分布区。下图示意查亚峰景观。据此完成 7~8 题。



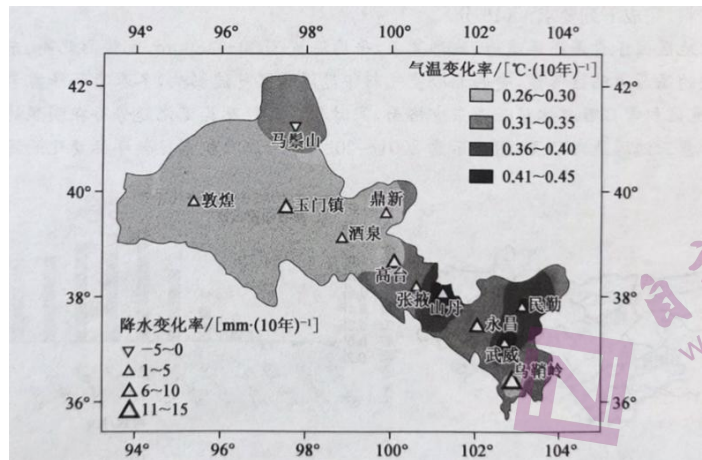
7. 查亚峰最可能是（ ）
 A. 背斜山 B. 向斜山 C. 断块山 D. 火山
8. 绿片岩分布区可能会发现（ ）
 A. 金、铜矿藏 B. 三叶虫化石 C. 大型煤矿 D. 爬行动物化石

青藏高原阶段性、东西方向上不均匀的抬升，强烈影响着雅鲁藏布江水系发育，河网形态和河流地貌过程，形成了雅鲁藏布江宽窄相间的藕节状河谷形态，而宽窄河谷之间常有裂点连接。裂点是指河流纵坡面上比降突然增大的点，即缓坡段与陡坡段的转折处。下图示意雅鲁藏布江某段河道的平面形态。据此完成 9~10 题。



9. 图中裂点上游多水流交错，形似发辫的水系，其形成主要得益于（ ）
 ①河谷宽度大 ②滨河植被多 ③河道坡度大 ④泥沙补给多
 A. ①② B. ①④ C. ②③ D. ③④
10. 图中裂点下游单一偏顺直河道发育的主导外力作用是（ ）
 A. 下蚀 B. 侧蚀 C. 堆积 D. 溯源侵蚀

研究表明，祁连山区对全球气候变暖响应较为敏感。下图示意 1965~2018 年祁连山北麓及其附近地区气温、降水变化率空间分布。据此完成 11~13 题。



11. 1965~2018年，祁连山北麓及其附近地区整体呈现（ ）

- A. 暖湿化趋势 B. 暖干化趋势 C. 冷湿化趋势 D. 冷干化趋势

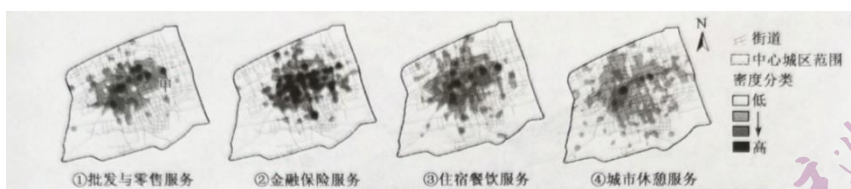
12. 与乌鞘岭地区相比，马鬃山地区（ ）

- A. 水土流失更为严重 B. 冬季温度更高 C. 气候大陆性更显著 D. 夏季降水更多

13. 推测马鬃山地区的主要地带性植被类型是（ ）

- A. 森林 B. 草原 C. 荒漠 D. 苔原

下图示意2019年呼和浩特市中心城区批发与零售服务、金融保险服务、住宿餐饮服务、城市休闲服务（公园广场、风景名胜等）四类生活性服务业网点分布（密度分类数值越高，规模相对越大，集聚程度越高）。据此完成14~16题。



14. 随着离城市中心距离的增加，呼和浩特市四类生活性服务业集聚中心密度值的变化趋势均表现为（ ）

- A. 先增大后减小 B. 先减小后增大 C. 增大 D. 减小

15. 在居住小区布局逐渐向中心城区外围转移的大趋势下，四类服务业中网点布局变化较小的（ ）

- A. ①② B. ①③ C. ②④ D. ③④

16. 图中甲地最可能是（ ）

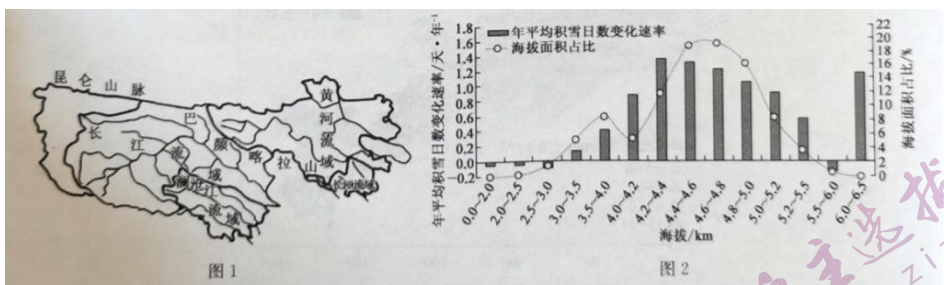
- A. 大型商场 B. 高级住宅区 C. 高铁车站 D. 风景名胜区

二、非选择题：本题共3小题，共52分。

17. 阅读图文材料，全科免费下载公众号《高中僧课堂》完成下列要求。（16分）

三江源地区位于青藏高原腹地，地形复杂，平均海拔3500~4800m，地势西北高、东南低。三江源地区是典型的高原大陆性气候，受西北冷空气与印度洋暖湿气流影响，冬春季节降雪量较大。研究发现，三江源地区积雪日数整体呈西多东少格局，同时积雪日数及其变化趋势存在明显的海拔和坡向分异。图1示意三江源地理位置，图2示意2001~2020年三江源积雪日数年际变化的海拔分异。

三江源地区年平均积雪日数变化



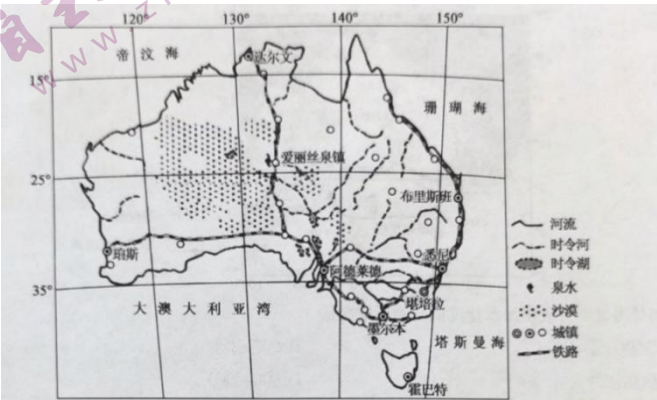
(1) 推测 2001~2020 年三江源部分海拔高度年平均积雪日数呈减少趋势的原因。(6 分)

(2) 与东部相比, 分析三江源西部地区年平均积雪日数较多的原因。(6 分)

(3) 三江源地区南坡年平均积雪日数少于北坡, 试简析原因。(4 分)

18. 阅读图文材料, 完成下列要求。(18 分)

近两年, 受新冠疫情影响, 航空运输需求骤降, 导致全球数千架飞机停飞, 大量飞机停放成为难题。飞机停放需要合适的场地, 还需要定期的维护。在此背景下, 沙漠停机场成为航空公司的重要选择。澳大利亚中部的爱丽丝泉镇附近的沙漠停机场是世界上最大的沙漠停机场之一, 停放了来自世界各国的多家航空公司的飞机。下图示意澳大利亚爱丽丝泉镇位置。



(1) 简述多家航空公司倾向于将停飞飞机放置于沙漠的自然原因。(4 分)

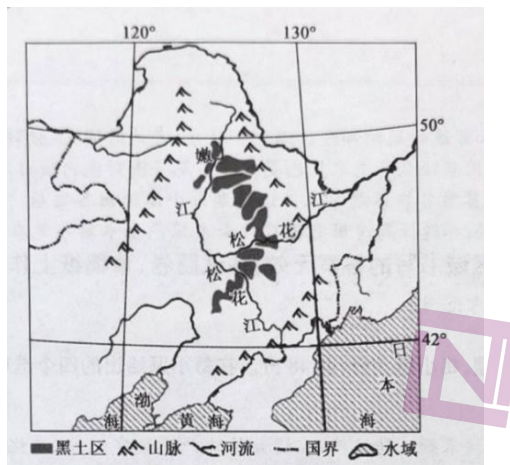
(2) 说明澳大利亚爱丽丝泉镇沙漠停机场建设的有利社会经济条件。(8 分)

(3) 有专家建议, 澳大利亚爱丽丝泉镇沙漠停机场应扩大规模。你是否同意该建议? 请表明观点并说明理由。(6 分)

19. 阅读图文材料, 完成下列要求。(18 分)

黑土是指具有强烈胀缩和扰动特征的黏质土壤, 是肥力最高的土壤, 由大量地表植物死亡后再经过很长时期的腐殖质积累演化而来。东北地区是全球三大黑土分布区之一, 是我国主要的粮食生产基地之一, 黑土分布区被誉为粮食安全的“压舱石”。近百年来, 因人类不合理的活动, 黑土不断遭受侵蚀而流失, 对黑土进行保护刻不容缓, 营造农田防护林是保护黑土地最直接、最有效的方法。下图示意东北地区黑土区分布。





- (1) 据图描述东北地区黑土的空间分布特点。(4分)
- (2) 具体分析农田防护林对黑土地的保护和改善作用。(6分)
- (3) 不同季节，黑土遭受侵蚀程度存在差异。推测黑土遭受侵蚀最严重的季节，并说明原因。(8分)

高三地理参考答案、提示及评分细则

1. D 由图可知，长江经济带上游地区数字经济指数小于下游地区，说明上游地区数字经济发展水平低于下游地区；长三角城市群形成了数字经济高发展水平集聚区。
2. C 城市数字经济主要通过互联网、通信网络来实现交易、交流与合作，且高新技术产业及第三产业（服务业）发展更有利于推动城市数字经济的发展，因此信息化水平与产业结构对数字经济发展水平影响大。一般情况下，城市等级越高，经济规模越大，产业层次越高，数字技术创新能力越强，越有利于数字经济高水平发展，故城市等级对数字经济发展影响大（从长江经济带数字经济指数的空间分布特征可以印证）。老龄化程度对城市数字经济发展影响较小。
3. B 读图可知，作为国际大都市和全国的经济、金融、创新中心，上海发展成为长江经济带数字经济发展水平最高的核心，而苏州市与上海地理位置邻近，受上海辐射带动作用强，有利于其数字经济的发展。
4. B ①海域位于恒河三角洲附近，②海域位于伊洛瓦底江河口附近。两河附近海域表层海水盐度受径流影响大，径流量较大的表层海水盐度较低。根据所学知识可知，恒河径流量较大，故其附近海域表层海水盐度较低，即②>①。③④海域受径流注入影响小，盐度高于①②；夏季孟加拉湾洋流呈顺时针运动，③海域受来自阿拉伯海的高盐海水影响，④海域受来自湾内的低盐海水影响，因此③海域盐度高于④海域。
5. D 孟加拉湾西部近岸区，夏季受西南季风影响，风从陆地吹向海洋，近岸海水缺失，底层海水上升补充，形成上升流，因西南季风势力强，上升流强度大。孟加拉湾东部近岸区，冬季受东北季风影响，风从陆地吹向海洋，近岸海水缺失，底层海水上升补充，形成上升流，因东北季风势力弱，上升流强度小。
6. C 受西南季风和海陆轮廓影响，夏季孟加拉湾内洋流呈顺时针流动， 6°N 断面东部表层海水由孟加拉湾流出至赤道印度洋，此时陆地径流丰富，孟加拉湾海水盐度较低， 6°N 断面东部表层海水由孟加拉湾向赤道印度洋进行海洋淡水输入；冬季，南印度洋洋流呈逆时针方向流动，孟加拉湾表层海水从 6°N 断面西部流出， 6°N 断面东部表层海水由赤道印度洋流入孟加拉湾，以补充流出的海水，因海水是由盐度较高的赤道印度洋流向盐度较低的孟加拉湾，不属于海洋淡水输入。
7. B 根据材料可知，查亚峰山体以裸露的第三纪灰岩为主，排除火山；查亚峰形成历史较为悠久，背斜顶部岩石较为脆弱，易被侵蚀成山谷。查亚峰剥蚀速率远低于其南部的前寒武纪绿片岩分布区，说明其岩性较为坚

硬，不易被外力侵蚀，故可能是由于向斜槽部岩石受到挤压形成的；断块山边缘平直，山坡陡峻成崖，与相邻平地之间没有过渡地带，常急转直下，与图示查亚峰形态不相符。

8. A 绿片岩属于片岩，具有细粒鳞片变晶结构，说明其形成于高温高压的条件下，最可能属于变质岩。变质岩分布地区多金、铜矿藏。化石基本在沉积岩中才能发现，大型煤矿形成于古生代末期和中生代末期，且同样埋藏在沉积岩层。

9. B 汛期河流从上游携带大量泥沙，在地势平缓处，由于河流流速减缓，搬运能力减弱，携带的泥沙在宽阔的河谷或漫滩堆积形成沙洲或浅滩，最后宽阔的河道沙洲凸显从而形成辫状景观。图中辫状河道位于裂点上游，坡度小，流速缓，河谷宽度大，上游泥沙补给充足是其形成的主要原因。滨河植被的生长会限制辫状河流的横向扩张，不利于辫状河道的形成。

10. A 裂点处河流比降增大，下游河道较陡，且河道束窄，河流以下蚀作用为主，发育成单一偏顺直的河道。裂点处溯源侵蚀作用强，而下游单一偏顺直河道以下蚀为主。

11. A 由图可以看出，图示时期祁连山北麓及其附近地区整体呈现暖湿化趋势。

12. C 由图可以看出，马鬃山地区降水呈减少趋势，气温为升高趋势，气候暖干化趋势显著；乌鞘岭地区增温幅度小，降水增加幅度大，呈现冷湿趋势。且与乌鞘岭地区相比，马鬃山地区更加远离海洋，故马鬃山地区气候大陆性更显著。与乌鞘岭地区相比，马鬃山地区纬度更高，离海洋更远，故冬季温度更低，夏季降水更少；因降水少，水土流失较轻。

13. C 马鬃山地区地处西北内陆，降水较少，属于干旱地区，主要地带性植被类型是荒漠。

14. D 读图比较可知，随着离城市中心距离的增加，呼和浩特四类生活性服务业集聚中心密度值的变化趋势均表现为减小。

15. C 生活性服务业网点分布主要受市场因素影响。在居住小区布局逐渐向中心城区外围转移的大趋势下，中心城区居民数量出现外溢，导致服务门槛低、服务半径较小的批发与零售服务业、住宿餐饮服务业随之发生较为明显的变化，即①③变化较大。据图可知，城市休憩服务业（④）网点分布范围广泛，即使中心城区居民数量出现外溢，也能基本满足居民需求，故其变化较小；金融保险服务业（②）服务对象面向整个城市，即使中心城区居民数量出现外溢，需要增加的商业网点也相对较少。

16. A 根据分析可知，甲地批发与零售服务业、金融保险服务业和住宿餐饮服务业规模均相对较大，说明该地人流量较大，经济相对发达，故其最可能是大型商场。高级住宅区和风景名胜区的城市休憩服务业较为发达；高铁车站的金融保险服务业一般相对较小，以上规律均与图示信息不符，排除。

17. (1) 受全球气候变暖影响，低海拔(<3.0km)区域气温升高，不利于积雪保存，积雪日数减少；海拔5.5~6.0km区域多为冰川与雪山的边缘地区（或位于雪线附近），受气候变暖影响，冰川与雪山的边缘地区（或雪线附近）积雪消融，积雪日数减少。（每条3分，共6分）

(2) 三江源西部地区位于西北冷空气与印度洋暖湿气流交汇处，降雪量大，积雪厚；西部地区海拔较高，气温较低，积雪消融速度慢。（每条3分，共6分）

(3) 南坡属于阳坡，光照和热量条件较北坡好，(2分)导致积雪快速消融，不利于积雪积累，故积雪日数小于北坡。(2分)

18. (1) 沙漠地区气候干燥少雨，能有效防止飞机零部件受潮腐蚀；沙漠地区地形平坦开阔，便于飞机停放。（每条2分，共4分）

(2) 地广人稀，停机空间大，土地租金低；经济发达，飞机保养经验丰富，技术先进；有铁路经过，交通相对便利；离亚太地区主要航空枢纽较近。（每条2分，共8分）

(3) 同意。理由：沙漠停机场需求量大，扩大规模有利于增加收入；沙漠停机场建设成本和运营费用低，扩大规模有利于增加利润；扩大沙漠停机场规模有利于增加就业机会；扩大沙漠停机场规模有利于带动当地其他相关产业发展，促进区域经济发展。

或不同意。理由：随着航空业的复苏，沙漠停机场需求减少；扩大停机场规模，可能会破坏周边环境的生态平衡；爱丽丝泉镇位于中部沙漠地区，人口稀少，劳动力可能不足。

(每条 2 分，答对 3 条得 6 分，共 6 分，需表明观点，且阐述的理由要与表明的观点一致，未表明观点或阐述的理由与观点不一致均不得分。)

19. (1) 空间分布不均，主要分布在嫩江，松花江中上游地区；集中连片分布。(每条 2 分，共 4 分)

(2) 农田防护林带能够降低风速，(在一定程度上提高土壤含水量，)减轻土壤风蚀；农田防护林具有涵养水源、保持水土的功能，能有效减少水土流失；农田防护林可以改善微气候环境，促进土壤有机质积累及养分增加，并能降低地下水水位，进而减轻土壤盐渍化。(每条 2 分，共 6 分)

(3) 春季。(2 分) 春季气温回升快，降水少，多大风天气；表层冻土融化，土质疏松；温度升高，积雪融水量大；植被新叶刚刚萌发，防风能力差；正值春耕时间，缺乏农作物对土壤的保护。(每条 2 分，答对 3 条得 6 分，共 6 分)